

**ИССЛЕДОВАНИЕ ХАРАКТЕРИСТИК ЯДЕРНЫХ ТРЕКОВЫХ МЕМБРАН ДЛЯ СОЗДАНИЯ  
ДРЕНАЖНОЙ СИСТЕМЫ В ЛЕЧЕНИИ ГЛАУКОМЫ**

М.Е. Кузнецова, В.В. Сохорева

Научный руководитель: с.н.с. В.В. Сохорева

Национальный исследовательский Томский политехнический университет,

Россия, г.Томск, пр. Ленина, стр.4, 2а, 634050

E-mail: mek4@tpu.ru

**THE RESEARCH CHARACTERISTICS OF NUCLEAR TRACK MEMBRANES FOR CREATION  
DRAINAGE SYSTEM IN THE GLAUKOMA THERAPY**

М.Е.Кузнецова, В.В.Сохорева

Scientific Supervisor: V.V.Sochoreva

Tomsk Polytechnic University, Russia, Tomsk, Lenin str., 4, 2а, 634050

E-mail: mek4@tpu.ru

*In this article has been researched possibility of using nuclear track membrane for fluid transport in the implementation and maintenance of the cornea weakly dehydrated state*

**Введение** Наноматериалы имеют уникальные свойства, которые определяются особенностями взаимодействия наночастиц. Они используются в химии, микроэлектронике, физике и медицине. В том числе они могут быть использованы в качестве дренажного устройства при лечении глаукомы.[1] Глаукома – это тяжелое заболевание глаз, которое сопровождается повышенным внутриглазным давлением (ВГД). Важную роль в поддержании определенного уровня ВГД играет внутриглазная жидкость (ВГЖ), которая регулирует обмен веществ во внутриглазных структурах.[2] Восстановить отток ВГЖ можно с помощью хирургической операции с внедрением экспланториального дренажа изготовленной из ядерной трековой мембраны (ТМ). Поверхность мембран и пор в классических ТМ обладают гидрофобными свойствами, т.е. имеют плохую смачиваемость. Для использования ТМ в качестве дренажного устройства необходимо передать поверхности мембранны гидрофильные свойства. В настоящей работе рассматривалась технология формирования пор в классической трековой мемbrane и модификация ее поверхности.

**Экспериментальная часть** Получение ТМ основано на облучении полимера высоконаправленными тяжелыми ионами, которые создают узкие латентные треки на всю толщину облучаемого материала. Латентные треки - это дефектная разупорядоченная зона с диаметром 5-12 нм. Затем производится селективное травление, которое позволяет удалить дефектные зоны и получить материал с нанопорами. Плотность нанопор находится в пределах  $10^6\text{--}10^9 \text{ см}^{-2}$ .

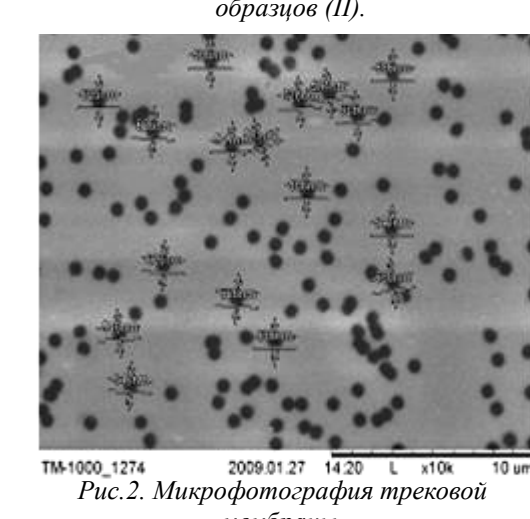
В данной работе в качестве исходного материала для создания ТМ использовалась полимерная пленка полиэтилентерефталата (ПЭТФ) толщиной 10-12 мкм. Пленка ПЭТФ облучалась пучком ионов  $^{40}\text{Ar}$  с максимальной энергией 41 МэВ. Ускоренный пучок ионов аргона выводится из камеры с помощью электростатического дефлектора и направлялся в канал, в котором находились система для равномерной развертки ионного пучка и камера облучения пленки. Для развертки пучка в горизонтальном

направлении была разработана и реализована оригинальная схема с электростатической разверткой пучка в горизонтальном направлении. Пучок аргона после прохождения через систему развертки поступал в вакуумную камеру, где производилось облучение пленки.

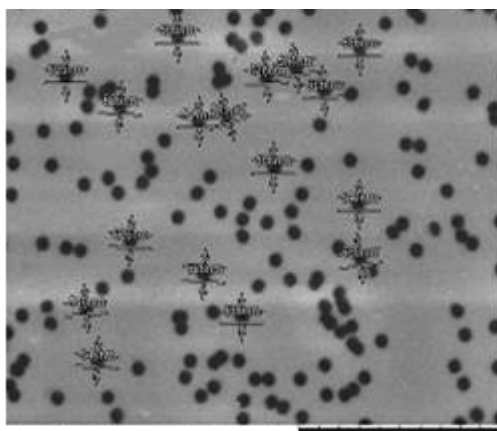
Энергия ускоренных ионов измерялась перед облучением пленки с высокой точностью при помощи метода регистрации обратно рассеянных ионов (POP), что позволило не только идентифицировать ускоряемые ионы по массе, но и очень точно определить энергию налетающих ионов. Распределение интенсивности пучка по пленке контролировалось путем измерения тока на ламелях, расположенных за пленкой по всей ширине. Ионы, проходя сквозь пленку, создают область с высокой плотностью ионизации – трек иона. [1]

После облучения ПЭТФ были измерены ИК спектры исходного и облученного образцов. На Рис.1. представлены ИК спектры поглощения ПЭТФ.

Из рисунка видно, что спектр облученного образца отличается от исходного. ИК спектры указывают на то, что внешнее воздействие не приводит к полному разрушению молекулярной цепи полиэтилентерефталата. Но существуют основания предполагать, что на молекулярном уровне происходят изменения, т.е. образуются радикалы, которые способствуют перекрещиванию макромолекул или формированию продуктов из более коротких цепей [3].



*Рис.1. ИК спектр поглощения ПЭТФ для исходного (I) и облученного (II) образцов.*



*Рис.2. Микрофотография трековой мембранны.*

Травление ТМ осуществлялось в растворе NaOH при температуре 72–82 °C. Соотношение скоростей травления трека и основа  $V_t/V_b$ , было не менее 100. Плотность и размеры пор контролировались с помощью растрового электронного микроскопа (Рис.2.) [1].

Методом растекающейся капли были проведены измерения краевого угла смачиваемости  $\Theta$  поверхности трековой мембранны сразу после травления в NaOH и через 10 часов нахождения мембранны на воздухе. В Таблице 1 представлены результаты измерения угла  $\Theta$  смачиваемости ТМ без дополнительной обработки. Измерения проводились при комнатной температуре.

*Таблица 1. Результаты измерения угла  $\Theta$  для ТМ до обработки плазмой*

Плотность пор в ТМ, Пор/ $\text{см}^2$	$\Theta$ Сразу после травления в NaOH	$\Theta$ Через 10 часов (атмосфера)
1,2 x 10 <sup>6</sup>	77,2	78,2
7,25 x 10 <sup>8</sup>	76,1	76,9

Для придания поверхности мембранны гидрофильных свойств, проводилась обработка её поверхности плазмой объемного самостоятельного разряда. Максимальное напряжение на плазме разряда 20–22 кВ. Плотность энергии в разряде  $\sim 6 \cdot 10^4$  Дж/ $\text{см}^2$  в импульсе. Частота следования импульсов  $- 10^3$  с<sup>-1</sup>. Образцы размером 6x6 см крепились в специальном устройстве, которое вращалось, таким образом, что воздействию одинаково подвергались обе поверхности мембранны. Результаты измерения  $\Theta$  представлены

в Таблице 2. После обработки поверхности, образцы ТМ помещались в пластиковые пакеты и через сутки были проведены измерения  $\Theta$  на этих же образцах. Угол  $\Theta$  смачиваемости не изменился по сравнению с результатами, представленными в Таблице 2.

Таблица 2. Результаты измерения угла  $\Theta$  для ТМ после обработки плазмой

Плотность пор ТМ,пор/см <sup>2</sup>	$\Theta$ Сторона а) до обработки плазмой	$\Theta$ Сторона б) до обработки плазмой	$\Theta$ Сторона а) после обработки плазмой	$\Theta$ Сторона б) после обработки плазмой
$1,2 \times 10^6$	78,2	77,6	42,8	41,6
$7,25 \times 10^8$	76,9	77,1	40,0	40,1

**Выводы** Таким образом, в ходе выполнения работы было установлено с помощью метода ИК спектроскопии, что при облучении ПЭТФ происходят изменения структуры на макроуровне (образуются радикалы). Затем было совершено травление облученного материала в NaOH, что привело к образованию сквозных треков.

С помощью метода растекающейся капли был измерен краевой угол смачивания материала до обработки в плазме объемного самостоятельного разряда и после. После тщательного анализа данных было выяснено, что краевой угол смачивания поверхности ТМ после обработки в плазме стал меньше, чем в исходном образце из чего следует, что поверхность ТМ стала гидрофильной.

## СПИСОК ЛИТЕРАТУРЫ

1. В.М. Головков, В.В. Сохорева// Изв. вузов. Физика. – 2010. – Т. 53. – № 10/2. – С. 259–261.
2. Клиника профессора СТОЛЯРЕНКО. Глаукома [Электронный ресурс]. – Режим доступа: <http://www.glaukoma.info>
3. Л.Н. Игнатьева, В.М. Бузник. ИК-спектроскопические исследования политетрафторэтилена и его модифицированных форм// Рос. хим. ж. (Ж. Рос. хим. об-ва им. Д.И. Менделеева), 2008. – т. LII. – № 3.